

# Массы $u$ , $d$ и $s$ кварков

А. А. Осипов<sup>1)</sup>

Объединенный институт ядерных исследований, 141980 Дубна, Россия

Поступила в редакцию 3 мая 2024 г.

После переработки 3 мая 2024 г.

Принята к публикации 15 мая 2024 г.

Исходя из выражений для квадратов масс псевдоскалярных мезонов  $m_\pi^2$  и  $m_K^2$ , полученных с точностью до второго порядка по нарушению киральной симметрии, определяются отношения масс легких кварков:  $m_s/m_d$  и  $m_u/m_d$ . Фит теоретических выражений  $m_\pi^2$  и  $m_K^2$  по их феноменологическим значениям ведет к функциональной зависимости между величинами  $m_s/m_d$  и  $m_u/m_d$ , которая описывается алгебраической кривой третьего порядка. Дополнительное ограничение возникает, если привлечь результат вычислений на решетке  $m_s/m_{ud} = 27.23(10)$ , представленный FLAG для случая четырех кварковых ароматов. Это существенно уменьшает погрешность ( $\sim 2\%$ ) для величины отношения  $m_u/m_d = 0.455(8)$ . Затем мы получаем абсолютные значения масс кварков.

DOI: 10.31857/S1234567824120012, EDN: ECIDGV

Токовые массы  $u$ ,  $d$  и  $s$  кварков являются фундаментальными параметрами Стандартной модели, и поэтому определение их численных значений относится к числу первостепенных задач современной физики частиц. В квантовой хромодинамике (КХД) они отвечают за явное нарушение киральной  $SU(3)_L \times SU(3)_R$  симметрии, которое описывается гамильтонианом

$$H_m = \sum_{q=u,d,s} m_q \bar{q}q. \quad (1)$$

Произведение  $m_q \bar{q}q$  инвариантно относительно преобразований ренормгруппы (в приближении главных логарифмов). Известно, что на энергетическом масштабе  $\mu \simeq 1$  ГэВ (в  $\overline{MS}$ -схеме вычитаний) массы легких кварков равны  $m_u \simeq 4.2$  МэВ,  $m_d \simeq 7.5$  МэВ,  $m_s \simeq 150$  МэВ [1] (см. также [2–5]). Поскольку  $m_q/\mu \ll 1$ ,  $H_m$  можно рассматривать, как малое возмущение в окрестности кирального предела  $m_q = 0$ .

Отношение кварковых масс  $m_q(\mu)/m_{q'}(\mu)$  в  $\overline{MS}$ -схеме не зависит от выбора точки вычитания  $\mu$ , и может быть получено из массовых формул псевдоскалярных мезонов стандартными методами алгебры токов [6]

$$\begin{aligned} m_{\pi^+}^2 &= B_0(m_u + m_d) + \gamma_{\pi^+}, \\ m_{\pi^0}^2 &= B_0(m_u + m_d) + \gamma_{\pi^0}, \\ m_{K^+}^2 &= B_0(m_u + m_s) + \gamma_{K^+}, \\ m_{K^0}^2 &= B_0(m_d + m_s) + \gamma_{K^0}. \end{aligned} \quad (2)$$

Здесь  $B_0$  – величина, пропорциональная  $SU(3)$  кварковому конденсату  $B_0 = -\langle \bar{q}q \rangle / F^2$ ,  $F$  – константа распада пиона в киральном пределе;  $m_{\pi,K}$  – феноменологические значения мезонных масс;  $\gamma_{\pi,K}$  – электромагнитный вклад в собственную энергию псевдоскаляров. Согласно теореме Дашена [7] в лидирующем приближении по  $m_q$  имеют место равенства:  $\gamma_{K^0} = \gamma_{\pi^0} = 0$ ,  $\gamma_{\pi^+} = \gamma_{K^+} = m_{\pi^+}^2 - m_{\pi^0}^2$ . Тогда приходим к известным формулам Вайнберга

$$\begin{aligned} \frac{m_u}{m_d} \stackrel{\text{LO}}{=} \frac{m_{K^+}^2 - m_{K^0}^2 + 2m_{\pi^0}^2 - m_{\pi^+}^2}{m_{K^0}^2 - m_{K^+}^2 + m_{\pi^+}^2} &= 0.56, \\ \frac{m_s}{m_d} \stackrel{\text{LO}}{=} \frac{m_{K^+}^2 + m_{K^0}^2 - m_{\pi^+}^2}{m_{K^0}^2 - m_{K^+}^2 + m_{\pi^+}^2} &= 20.18. \end{aligned} \quad (3)$$

Систематические вычисления следующей (NLO) поправки к результату Вайнберга [8, 9] показали, что выход за рамки алгебры токов ведет к функциональной зависимости отношений  $x = m_u/m_d$  и  $y = m_s/m_d$ . Согласно низкоэнергетической теореме [8] кривая  $f(x, y) = 0$  является эллипсом. Напротив, фитирование массовых формул, полученных с точностью до первой поправки к результату алгебры токов (2), показывает, что  $x$  и  $y$  принадлежат (с учетом приближений сделанных в [9]) кривой второго порядка, каноническая форма которой есть парабола. Поскольку вид функции  $f(x, y)$  важен для извлечения теоретической информации о величинах отношений кварковых масс  $x$  и  $y$ , имеет смысл более подробно остановиться на обоих методах, чтобы понять их плюсы и минусы. Изучению этого вопроса и посвящена настоящая заметка.

<sup>1)</sup>e-mail: aaosipov@jinr.ru

В основе нашего анализа лежат формулы

$$\begin{aligned} m_{\pi^+}^2 &= B_0(m_u + m_d)[1 + \Delta(m_u + m_d)] + \gamma_{\pi^+}, \\ m_{K^+}^2 &= B_0(m_u + m_s)[1 + \Delta(m_u + m_s)] + \gamma_{K^+}, \\ m_{K^0}^2 &= B_0(m_d + m_s)[1 + \Delta(m_d + m_s)] + \gamma_{K^0}, \end{aligned} \quad (4)$$

в которых учтен NLO вклад в собственную энергию псевдоскалярных мезонов. Эти соотношения могут быть получены в  $1/N_c$  киральной теории возмущений ( $1/N_c\chi$ РТ) [10, 11], и тогда параметр  $\Delta = 8B_0(2L_8 - L_5)/F^2$  выражается через низкоэнергетические константы эффективного кирального лагранжиана. К формулам (4) мы приходим и в модели Намбу–Иона-Лазинио, используя правила счета, принятые в  $1/N_c\chi$ РТ:  $1/N_c, p^2, m_q = \mathcal{O}(\delta)$ . В этом случае  $\Delta = \delta_M/(2M_0)$  [12], где  $M_0$  – щель в фермионном спектре, а безразмерная константа  $\delta_M$  определяется всей совокупностью параметров модели. В дальнейшем величина параметра  $\Delta$  будет фиксироваться исходя из современных оценок КХД на решетке. Следует также отметить, что величины параметров  $\Delta$  и  $B_0$  не влияют на вид функции  $f(x, y)$ .

Подчеркнем, что при выводе формул (4), помимо разложения по степеням масс кварков и импульсов, вершины эффективного мезонного лагранжиана классифицировались в соответствии с их поведением в пределе большого числа цветовых степеней свободы  $N_c$ . Это позволило расширить группу симметрии теории до  $U(3)_L \times U(3)_R$ , включив в рассмотрение  $\eta'$ -мезон, и как следствие, учесть известное решение  $U(1)$ -проблемы [13–18], и подавить процессы, нарушающие правило Цвейга. Благодаря  $1/N_c$  разложению, в выражении (4) отсутствует вклад киральных логарифмов, который имеет следующий порядок малости  $\mathcal{O}(\delta^3)$ . Это важная деталь позволяет избавиться от неоднозначности, возникающей при вычислениях  $x$  и  $y$ , которая связана с нефизической симметрией лагранжиана киральной теории возмущений относительно преобразований Каплана–Манохара [9].

Выход за рамки алгебры токов ведет к нарушению теоремы Дашена. Это, в первую очередь, касается вкладов  $\gamma_{\pi^+}$  и  $\gamma_{K^+}$ . Для нейтральных мод по-прежнему можно считать, что в (4)  $\gamma_{K^0} = \gamma_{\pi^0} = 0$ . Вклад виртуальных фотонов в собственную энергию заряженного пиона находим из формулы

$$\gamma_{\pi^+} = (m_{\pi^+}^2 - m_{\pi^0}^2) - (\bar{m}_{\pi^+}^2 - \bar{m}_{\pi^0}^2). \quad (5)$$

Чистый КХД-вклад мал  $(\bar{m}_{\pi^+}^2 - \bar{m}_{\pi^0}^2) \sim (m_d - m_u)^2$  и может быть вычислен в  $\chi$ РТ, которая дает оценку  $\bar{m}_{\pi^+} - \bar{m}_{\pi^0} = 0.17(3)$  МэВ [8]. Отсюда следует, что

$$\gamma_{\pi^+} = 1.21(1) \times 10^{-3} \text{ ГэВ}^2 \quad [19, 20]. \quad (6)$$

В случае заряженного каона отклонение от теоремы Дашена ( $\gamma_{K^+} = \gamma_{\pi^+}$ ) можно охарактеризовать параметром  $\epsilon$  [21], а именно,

$$\gamma_{K^+} = \gamma_{\pi^+} + \epsilon(m_{\pi^+}^2 - m_{\pi^0}^2). \quad (7)$$

В недавнем обзоре результатов, полученных различными коллаборациями, моделирующими КХД на решетке, FLAG [22] приводит следующие усредненные значения  $\epsilon$

$$\epsilon = 0.79(6) \quad (N_f = 2 + 1 + 1), \quad (8)$$

$$\epsilon = 0.73(17) \quad (N_f = 2 + 1). \quad (9)$$

В дальнейшем мы будем использовать первую из оценок. Она имеет меньшую ошибку и отвечает симуляциям с четырьмя кварковыми ароматами,  $m_u = m_d \neq m_s \neq m_c$ . Это дает

$$\gamma_{K^+} = 2.21(8) \times 10^{-3} \text{ ГэВ}^2, \quad (10)$$

что, при сравнении с (6), указывает на существенное нарушение теоремы Дашена.

Система трех уравнений (4) имеет четыре свободных параметра (например,  $m_d B_0, m_d \Delta, x, y$ ). По этой причине результатом ее решения будет связь  $f(x, y) = 0$ . Чтобы найти функцию  $f(x, y)$ , рассмотрим два отношения

$$\begin{aligned} r_x &= \frac{m_{K^+}^2 - m_{K^0}^2 + m_{\pi^+}^2 - \gamma_{K^+} - \gamma_{\pi^+}}{m_{K^0}^2 - m_{K^+}^2 + m_{\pi^+}^2 + \gamma_{K^+} - \gamma_{\pi^+}} \\ &= \frac{x + m_d \Delta [y(x-1) + x(x+1)]}{1 + m_d \Delta [y(1-x) + 1 + x]}, \end{aligned} \quad (11)$$

$$\begin{aligned} r_y &= \frac{m_{K^+}^2 + m_{K^0}^2 - m_{\pi^+}^2 - \gamma_{K^+} + \gamma_{\pi^+}}{m_{K^0}^2 - m_{K^+}^2 + m_{\pi^+}^2 + \gamma_{K^+} - \gamma_{\pi^+}} \\ &= \frac{y + m_d \Delta [y(y+x) + y-x]}{1 + m_d \Delta [y(1-x) + 1 + x]}, \end{aligned} \quad (12)$$

где на втором шаге мы использовали формулы (4). С одной стороны, из экспериментальных значений масс  $\pi^+, K^+, K^0$  мезонов и полученных выше оценок (6) и (10), получаем  $r_x = 0.498(5)$ ,  $r_y = 19.32(6)$ , с другой стороны, исключая зависимость от параметра  $m_d \Delta$  в (11) и (12), приходим к уравнению

$$(y^2 - 1)(1 - xr_x) = (1 - x^2)(yr_y - 1). \quad (13)$$

Это плоская алгебраическая кривая третьего порядка (кубика) рода  $g = 1$ . Она имеет три независимые ветви: две гиперболические и одну прямолинейную (гиперболического типа). Именно последней ветви принадлежит точка  $(x, y) = (r_x, r_y)$ .

Результат (13) не зависит от выбора отношений  $r_x, r_y$ . Любая произвольно выбранная пара

$$r_\alpha = \frac{(\alpha_P, \bar{m}_P^2)}{(\bar{\alpha}_P, \bar{m}_P^2)}, \quad r_\beta = \frac{(\beta_P, \bar{m}_P^2)}{(\bar{\beta}_P, \bar{m}_P^2)}, \quad (14)$$

где  $\bar{m}_P^2 = m_P^2 - \gamma_P$ , и  $(\alpha_P, \bar{m}_P^2) = \alpha_{K^+} \bar{m}_{K^+}^2 + \alpha_{K^0} \bar{m}_{K^0}^2 + \alpha_{\pi^+} \bar{m}_{\pi^+}^2$ , после исключения зависимости от  $\Delta$  приведет к уравнению

$$\begin{aligned} & (\alpha_P, \mu_P^2)(\beta_P, \mu_P) - (\alpha_P, \mu_P)(\beta_P, \mu_P^2) \\ & + r_\alpha [(\bar{\alpha}_P, \mu_P)(\beta_P, \mu_P^2) - (\bar{\alpha}_P, \mu_P^2)(\beta_P, \mu_P)] \\ & + r_\beta [(\bar{\beta}_P, \mu_P^2)(\alpha_P, \mu_P) - (\bar{\beta}_P, \mu_P)(\alpha_P, \mu_P^2)] \\ & = r_\alpha r_\beta [(\bar{\beta}_P, \mu_P^2)(\bar{\alpha}_P, \mu_P) - (\bar{\beta}_P, \mu_P)(\bar{\alpha}_P, \mu_P^2)]. \end{aligned} \quad (15)$$

Здесь  $\mu_P = m_i + m_j$ , индексы  $(i, j)$  соответствуют кварковому составу конкретного мезонного состояния  $P$ :  $(u, d) \rightarrow \pi^\pm$ ,  $(u, s) \rightarrow K^\pm$ ,  $(d, s) \rightarrow K^0, \bar{K}^0$ .

Зависимость от произвольных параметров  $\alpha_P$ ,  $\beta_P$ ,  $\bar{\alpha}_P$ ,  $\bar{\beta}_P$  факторизуется. Для этого  $r_\alpha$  и  $r_\beta$  в (15) необходимо выразить через  $r_x$  и  $r_y$ . В результате уравнение примет вид

$$\mathcal{F}(\alpha_P, \beta_P, \bar{\alpha}_P, \bar{\beta}_P, r_x, r_y) \times [(y^2 - 1)(1 - xr_x) - (1 - x^2)(yr_y - 1)] = 0.$$

Если функция  $\mathcal{F} \neq 0$ , то имеет место уравнение (13). В противном случае,  $r_\alpha$  и  $r_\beta$  не являются независимыми переменными. Таким образом, вид кривой (14) не зависит от выбора пары  $r_\alpha, r_\beta$ . Более того, в случае, когда  $\bar{\alpha}_P = \bar{\beta}_P$ , как это, например, имеет место в (11), (12), отношения приводят к уравнению (13) независимо от того, производится  $\delta$ -разложение отношений (14) в ряд или нет.

Действительно,  $\delta$ -разложение дает

$$r_\alpha = k_\alpha [1 + l_\alpha(m_d \Delta) + \mathcal{O}(\delta^2)], \quad (16)$$

где коэффициенты  $k_\alpha$  и  $l_\alpha$  являются функциями отношений кварковых масс  $x, y$  и параметров  $\alpha_P, \bar{\alpha}_P$

$$k_\alpha = \frac{(\alpha_P, \mu_P)}{(\bar{\alpha}_P, \mu_P)}, \quad l_\alpha = \frac{1}{m_d} \left[ \frac{(\alpha_P, \mu_P^2)}{(\alpha_P, \mu_P)} - \frac{(\bar{\alpha}_P, \mu_P^2)}{(\bar{\alpha}_P, \mu_P)} \right].$$

Очевидно, что если рассмотреть два элемента  $r_\alpha$  и  $r_\beta$ , то можно исключить зависимость от параметра  $m_d \Delta$  и, таким образом, найти уравнение, связывающее  $y$  и  $x$

$$k_\alpha k_\beta (l_\alpha - l_\beta) = k_\alpha l_\alpha r_\beta - k_\beta l_\beta r_\alpha. \quad (17)$$

Если  $\bar{\alpha}_P = \bar{\beta}_P$ , (17) описывает кубическую кривую (13). Если же  $\bar{\alpha}_P \neq \bar{\beta}_P$ , различные пары  $r_\alpha, r_\beta$  ведут к различным алгебраическим кривым. Некоторые следствия такого поведения изучались в [12, 23]. Наибольший интерес здесь представляет случай  $l_\alpha = l_\beta$ . Тогда из (17) следует, что  $r_\alpha/r_\beta = k_\alpha/k_\beta$ , т.е. в данном двойном отношении NLO вклады отсутствуют.

Это составляет содержание хорошо известной низкоэнергетической теоремы [8]. Например, рассмотрим киральное разложение следующих отношений

$$\begin{aligned} r_1 &= \frac{m_{K^+}^2 - \gamma_{K^+}}{m_{\pi^+}^2 - \gamma_{\pi^+}} \\ &= \frac{m_s + m_u}{m_d + m_u} [1 + \Delta(m_s - m_d) + \mathcal{O}(\delta^2)], \\ r_2 &= \frac{m_{K^0}^2 - m_{K^+}^2 + \gamma_{K^+}}{m_{K^0}^2 - m_{\pi^+}^2 + \gamma_{\pi^+}} \\ &= \frac{m_d - m_u}{m_s - m_u} [1 + \Delta(m_s - m_d) + \mathcal{O}(\delta^2)]. \end{aligned} \quad (18)$$

У них  $l_1 = l_2$ , и как следствие

$$\frac{r_1}{r_2} = \frac{m_s^2 - m_u^2}{m_d^2 - m_u^2} \equiv Q_1^2. \quad (19)$$

Очевидно, что здесь переменные  $x$  и  $y$  принадлежат эллипсу. В этом случае мы имеем три степени свободы  $m_d \Delta, x, y$  для фитирования двух феноменологических значений  $r_1, r_2$ . Безразмерный параметр  $m_d \Delta$  отвечает за положение точки на кривой (напомним, что в случае кубической кривой для этого необходимо фиксировать значения двух параметров:  $m_d \Delta$  и  $m_d B_0$ ). Уравнение эллипса (19) в переменных  $r_x, r_y$  принимает вид

$$(y^2 - 1)(1 - r_x^2) = (1 - x^2)(r_y^2 - 1). \quad (20)$$

Из сравнения уравнений (13) и (20) (см. рис. 1), видно, что обе кривые содержат одни и те же параметры  $r_x$  и  $r_y$ . Разница в том, что в случае эллипса они образуют общий фактор, который определяет главную полуось данной геометрической фигуры

$$Q_1 = \sqrt{\frac{r_y^2 - r_x^2}{1 - r_x^2}} = 22.28(15). \quad (21)$$

В приведенной численной оценке указана погрешность, которая вызвана ошибкой в величине  $\epsilon$  (8). Этот результат находится в прекрасном согласии с оценкой  $Q_{GL} = 22.1(7)$  [19], где  $Q_{GL} \equiv (m_s^2 - m_{ud}^2)/(m_d^2 - m_u^2)$ , и  $m_{ud} = (m_u + m_d)/2$ , полученной из экспериментальных данных по  $\eta \rightarrow 3\pi$  распадам. Он также согласуется с оценкой FLAG:  $Q_{GL} = 22.5(5)$  [22]. Высокая точность численной оценки (21) объясняется прецизионными данными современных вычислений КХД на решетке для величины  $\epsilon$ .

В случае кубики параметры  $r_x$  и  $r_y$  независимы. Как следствие, отношение кварковых масс  $Q_1^2$  меняется вдоль кубической кривой и, поэтому ее определение требует дополнительного предположения, которое, как мы покажем, в случае физических значений масс кварков ведет к результату  $Q_1 = 22.24(16)$ .

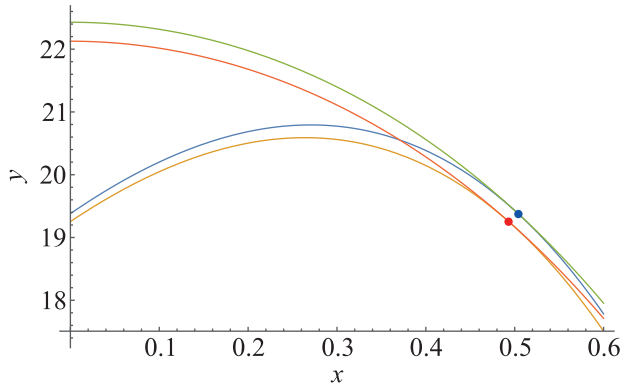


Рис. 1. (Цветной онлайн) Функция  $y = m_s/m_d$  от  $x = m_u/m_d$  в NLO приближении для случая, когда выполняется низкоэнергетическая теорема Гассера–Лойтвилера (эллипс, верхние кривые), и когда выполняются массовые формулы (кубика, нижние кривые). Поскольку теорема Дашена нарушена, для каждого из случаев изображены две кривые, охватывающие интервал  $\epsilon = 0.79(6)$ . Кривые имеют общую касательную в точке  $(r_x, r_y)$ . Воображаемая горизонтальная линия  $y = r_y$  пересекает кубическую кривую в точках  $(r_x, r_y)$  и  $(0, r_y)$

Предположение связано с использованием отношения  $S = m_s/m_{ud} = 27.23(10)$  [22], которое известно из КХД расчетов на решетке, и малочувствительно к поправкам, связанным с нарушением теоремы Дашена. Электромагнитный вклад в эту величину составляет  $\simeq 0.18\%$  [24], т.е. действительно очень мал. Знание  $S$  позволяет существенно ограничить область допустимых значений для  $x$  и  $y$  и таким образом повысить точность теоретических расчетов величины отношения  $m_u/m_d$ . Эта идея не нова. Она уже использовалась в [19], где авторам на основе кварковых отношений  $Q_{GL} = 22.1(7)$  и  $S = 27.23(10)$  удалось установить, что  $m_u/m_d = 0.44(3)$ . Теперь эту оценку можно улучшить благодаря высокой точности (8).

Результат наших расчетов представлен на рис. 2. Он демонстрирует прекрасное согласие данных, полученных независимо как на основе низкоэнергетической теоремы, так и с использованием кубической кривой

$$\begin{aligned} m_u/m_d &= 0.455(8) \quad (\text{кубика}), \\ m_u/m_d &= 0.456(8) \quad (\text{эллипс}). \end{aligned} \quad (22)$$

Как мы уже отмечали, величина кваркового конденсата  $\langle \bar{q}q \rangle(\mu)$  связана с низкоэнергетической константой  $B_0(\mu)$ , и зависит от ренормгруппового масштаба  $\mu$  в  $\overline{MS}$  схеме вычитаний. Однако произведение  $m_q(\mu)B_0(\mu)$  инвариантно относительно преобразований ренормгруппы. Поскольку это произведение

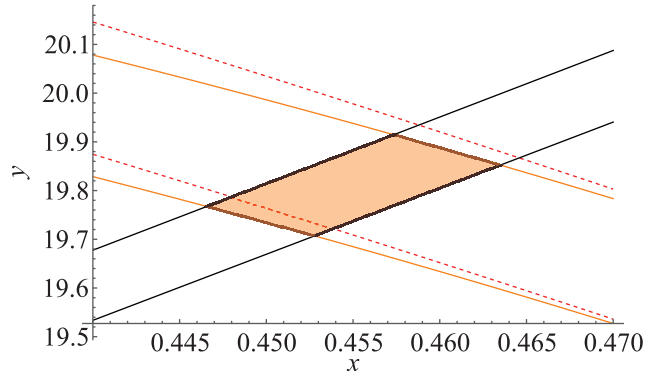


Рис. 2. (Цветной онлайн) Допустимые значения для отношений кварковых масс  $x = m_u/m_d$  и  $y = m_s/m_d$ . Сравниваются эллипс (пунктирные линии, отвечающие области  $Q_1 = 22.24(16)$ ) и кубика (сплошные линии, отвечающие области  $\epsilon = 0.79(6)$ ). Тонкие прямые линии выделяют область  $S = 27.23(10)$ , полученную FLAG в результате обработки решеточных данных для  $N_f = 2 + 1 + 1$  [22]. Пересечение полос, отвечающих рассматриваемым значениям  $S$  и кубики (закрашено), выделяет область физических значений для отношений  $x$  и  $y$

является одним из внутренних параметров кубики, мы можем оценить массы отдельных кварков, если известно  $B_0$ , и наоборот. Решеточные оценки  $B_0(\mu)$  в настоящее время не отличаются высокой точностью. Для наших расчетов мы воспользуемся результатом  $B_0(2 \text{ ГэВ}) = 2.682(36)(39) \text{ ГэВ}$  [26], суммарная ошибка которого сравнительно мала  $\sim 2\%$ .

Чтобы найти абсолютные значения масс кварков, необходимо решить систему трех уравнений (4). Для этого, при заданном значении  $B_0(2 \text{ ГэВ})$ , мы варьируем параметр  $\Delta$  так, чтобы решение принадлежало выделенной (закрашенной) области на рис. 2. Соответствующие результаты собраны в табл. 1.

В первой строке таблицы представлены результаты решения системы уравнений (4), отвечающие значениям  $B_0 = 2.682(53) \text{ ГэВ}$ . Чтобы получить представление о роли погрешности, вносимой величиной  $B_0$ , мы приводим также результаты расчетов, выполненных при строго фиксированном значении  $B_0 = 2.66 \text{ ГэВ}$  (см. вторую строку табл. 1). Для этого мы взяли среднее арифметическое центральных значений  $B_0 = 2.682(53) \text{ ГэВ}$  [26] и ЕТМ коллаборации  $B_0 = 2.64(20) \text{ ГэВ}$  [27]. В третьей строке приведены значения, распространяемые PDG [25], а четвертая и пятая строки представляют оценки FLAG [22], сделанные для случая четырех и трех ароматов кварков соответственно. Они получены путем усреднения результатов различных решеточных коллабораций в соответствии с критериями отбора FLAG.

**Таблица 1.** Массы легких кварков  $m_u$ ,  $m_d$ ,  $m_s$ , усредненное по изоспину значение  $m_{ud} = (m_u + m_d)/2$  (все в [МэВ]), и отношения масс кварков  $m_u/m_d$ ,  $Q_1$ ,  $R = (m_s - m_{ud})/(m_d - m_u)$ . Все величины соответствуют шкале  $\mu = 2$  ГэВ в  $\overline{MS}$ -схеме вычитаний

Источник	Условия	$m_u$	$m_d$	$m_{ud}$	$m_s$	$m_u/m_d$	$Q_1$	$R$
Данная	$B_0 = 2.682(53)$ ГэВ	$2.14 \pm 0.07$	$4.70 \pm 0.12$	$3.42(7)$	$93.13 \pm 2.25$	$0.455(8)$	$22.23(16)$	$35.02(61)$
статья	$B_0 = 2.66$ ГэВ	$2.16 \pm 0.03$	$4.74 \pm 0.03$	$3.447(2)$	$93.85 \pm 0.41$	$0.455(8)$	$22.23(16)$	$35.02(61)$
PDG [25]	–	$2.16^{+0.49}_{-0.26}$	$4.67^{+0.48}_{-0.17}$	$3.45^{+0.35}_{-0.15}$	$93.4^{+8.6}_{-3.4}$	$0.474^{+0.056}_{-0.074}$	–	–
FLAG [22]	$N_f = 2+1+1$	$2.14 \pm 0.08$	$4.70 \pm 0.05$	$3.410(43)$	$93.44 \pm 0.68$	$0.465(24)$	$22.5(5)$	$35.9(1.7)$
	$N_f = 2+1$	$2.27 \pm 0.09$	$4.67 \pm 0.09$	$3.364(41)$	$92.03 \pm 0.88$	$0.485(19)$	$23.3(5)$	$38.1(1.5)$

Сравнение результатов, представленных в первых двух строчках табл. 1, показывает, что ошибка  $\simeq 2\%$  в величине  $B_0$  вместе с существующей  $\simeq 1.5\%$  погрешностью в определении значений  $\epsilon$  и  $S$  ведет к суммарной ошибке  $\simeq 3\%$  для масс кварков. Этой точности достаточно, чтобы утверждать, что наши результаты полностью согласуются с данными, представленными PDG, а также средними значениями, приведенными FLAG. Кроме того, из этого можно заключить, что используемое для расчетов  $\delta$ -разложение, лежащее в основе исходной формулы для нашего анализа (4), оказывается эффективным инструментом для расчета масс легких кварков.

Поскольку в литературе имеется большое количество оценок кварковых масс, отнесенных к масштабу  $\mu = 1$  ГэВ, мы приведем соответствующие результаты наших вычислений. В начале заметки мы указали результат Вайнберга для масс кварков. Он позволяет оценить величину константы  $B_0(1 \text{ ГэВ}) \simeq 1.58$  ГэВ. Действительно, формулы (2) при данном значении  $B_0$  дают  $m_u = 4.1$  МэВ,  $m_d = 7.4$  МэВ,  $m_s = 149$  МэВ. Учет NLO поправки приводит к следующим оценкам (для разрешенной области рис. 2):  $m_u = 3.63(5)$  МэВ,  $m_d = 7.98(4)$  МэВ,  $m_s = 158.0(7)$  МэВ. По ним можно судить и о величине NLO вклада в массы легких кварков, который здесь колеблется от 11 до 6%.

Подводя итог, можно сделать вывод, что кубика является еще одним полезным источником для извлечения теоретической информации о массах легких кварков. С одной стороны, данная кривая в области физических масс кварков прекрасно согласуется с требованием низкоэнергетической теории Гассера–Лойтвилера, с другой стороны, она позволяет оценить не только отношения масс кварков, но и их абсолютные значения. Полученные нами оценки представляются разумными и в принципе их точность будет расти вместе с уменьшением погрешности в определении низкоэнергетической константы  $B_0$ .

Я благодарен Д. И. Казакову, В. А. Осипову, О. В. Теряеву и Б. Хиллер, за интерес к резуль-

татам данного исследования и стимулирующие обсуждения.

**Финансирование работы.** Данная работа финансировалась за счет средств бюджета Объединенного института ядерных исследований. Никаких дополнительных грантов на проведение или руководство данным конкретным исследованием получено не было.

**Конфликт интересов.** Автор данной работы заявляет, что у него нет конфликта интересов.

1. S. Weinberg, Trans. New York Acad. Sci. **38**, 185 (1977).
2. H. Leutwyler, Phys. Lett. B **48**, 45 (1974).
3. H. Leutwyler, Nucl. Phys. B **76**, 413 (1974).
4. M. A. Shifman, A. I. Vainshtein, and V. I. Zakharov, Nucl. Phys. B **147**, 385 (1979).
5. Б. Л. Иоффе, УФН **171**, 1273 (2001).
6. M. Gell-Mann, R. Oakes, and B. Renner, Phys. Rev. **175**, 2195 (1968).
7. R. Dashen, Phys. Rev. **183**, 1245 (1969).
8. J. Gasser, H. Leutwyler, Nucl. Phys. B **250**, 465 (1985).
9. D. B. Kaplan and A. V. Manohar, Phys. Rev. Lett. **56**, 2004 (1986).
10. H. Leutwyler, Phys. Lett. B **374**, 163 (1996).
11. H. Leutwyler, Phys. Lett. B **378**, 313 (1996).
12. A. A. Osipov, Phys. Rev. D **108**, 016014 (2023).
13. E. Witten, Nucl. Phys. B **160**, 57 (1979).
14. G. Veneziano, Nucl. Phys. B **159**, 213 (1979).
15. C. Rosenzweig, J. Schechter, and G. Trahern, Phys. Rev. D **21**, 3388 (1980).
16. K. Kawarabayashi and N. Ohta, Nucl. Phys. B **175**, 477 (1980).
17. P. Di Vecchia and G. Veneziano, Nucl. Phys. B **171**, 253 (1980).
18. P. Di Vecchia, F. Nicodemi, R. Pettorino, and G. Veneziano, Nucl. Phys. B **181**, 318 (1981).
19. G. Colangelo, S. Lanz, H. Leutwyler, and E. Passemar, Phys. Rev. Lett. **118**, 022001 (2017).
20. G. Colangelo, S. Lanz, H. Leutwyler, and E. Passemar, Eur. Phys. J. C **78**, 947 (2018).

21. S. Aoki, *Eur. Phys. J. C* **77**, 112 (2017).
22. S. Aoki, *Eur. Phys. J. C* **82**, 869 (2022).
23. A. A. Osipov, *JETP Lett.* **115**(6), 305 (2022).
24. A. Bazavov, C. Bernard, N. Brown et al. (Fermilab Lattice and MILC Collaborations), *Phys. Rev. D* **98**, 074512 (2018).
25. R. L. Workman, V. D. Burkert, V. Crede et al. (Particle Data Group), *Prog. Theor. Exp. Phys.* **2022**, 083C01 (2022).
26. S. Borsanyi, S. Dürr, Z. Fodor, S. Krieg, A. Schäfer, E. E. Scholz, and K. K. Szabó, *Phys. Rev. D* **88**, 014513 (2013).
27. R. Baron, P. Boucaud, P. Dimopoulos et al. (ETM Collaboration), *JHEP* **1008**, 097 (2010).